

СТП ТУАД 32-03-2000

**Расчётные значения характеристик глинистых  
грунтов земляного полотна для проектирования по  
условиям морозостойчивости и прочности  
нежёстких дорожных одежд автомобильных дорог  
Новосибирской области**

Подписано в печать 22.03.2000  
Бумага офсетная тираж 50 экз.  
Отдел оперативной полиграфии Том

Формат 60\*80 1/16  
Заказ № 252  
Солнечная, 2 ТГАСУ

## **СТАНДАРТ ПРЕДПРИЯТИЯ**

СТП ТУАД 32-03-2000 ; 2

СТП ТУАД 32-03-2000 . Расчётные значения глинистых грунтов земляного полотна для проектирования по условиям морозоустойчивости и прочности нежёстких дорожных одежд автомобильных дорог Новосибирской областной администрации. Новосибирск, 2000 . 32 с.

Стандарт разработан в развитие Инструкции по проектированию дорожных одежд нежёсткого типа (ВСН 46-83) применительно к природным условиям Новосибирской области. В Стандарте приведены сведения по дорожно-климатическому районированию территории Новосибирской области, дан комплекс значений характеристик глинистых грунтов для расчёта дорожных одежд по условиям прочности и морозоустойчивости; отражён метод расчёта дорожных одежд по Указанию морозоустойчивости для случаев глубокого залегания пресных вод, отсутствующий в ВСН 46-83.

Предназначен для инженерно-технических работников, занимающихся проектированием, строительством и реконструкцией автомобильных дорог в Новосибирской области.

Разработан коллективом кафедры "Автомобильные дороги" Томского государственного архитектурно-строительного университета. Общее руководство и редактирование выполнено доктором технических наук, профессором В.Н. Ефименко. Список участников разработки Стандарта приведён в приложении.

Расчётные значения характеристик глинистых грунтов земляного полотна для проектирования по условиям морозоустойчивости и прочности нежёстких дорожных одежд вновь строящихся и реконструируемых автомобильных дорог на территории Новосибирской области.

Введён  
впервые.

*Утверждён и введен в действие Приказом № 20 от "17" марта 2000 г.  
Дата введения "17" апреля 2000 г.*

### ***I. Область применения***

Настоящий Стандарт устанавливает основные требования по назначению расчётных значений характеристик глинистых грунтов земляного полотна при проектировании по условиям морозоустойчивости и прочности нежёстких дорожных одежд вновь строящихся и реконструируемых автомобильных дорог на территории Новосибирской области.

### ***2. Нормативные ссылки***

В настоящем Стандарте использованы ссылки на следующие нормативные документы:

- ВСН 46-83. Инструкция по проектированию дорожных одежд нежёсткого типа;
- СНИП 2.05.02-85. Автомобильные дороги;
- СНИП 2.01.01-82. Строительная климатология и геофизика;
- СНИП 10.01-94. Система нормативных документов в строительстве. Основные положения;
- СНИП 2.01.07-85. Нагрузки и воздействия;
- ГОСТ 25100-95. Грунты. Классификация;
- ГОСТ 5180-84. Грунты. Методы лабораторного определения физических характеристик.
- ГОСТ 12248-96. Грунты. Методы лабораторного определения прочности и деформируемости.
- ГОСТ 28622-90. Грунты. Методы лабораторного определения степени пучинистости.
- ОСТ 218.001-96. Система нормативных и методических документов дорожного хозяйства. Основные положения.

### ***3. Определения***

В СТП ТУАД 32-03-2000 использованы термины и определения, соответствующие ВСН 46-83, СНИП 2.05.02-85, СНИП 2.01.01-82 и дополненные другими терминами с учётом специфики отраслевой дорожной деятельности.

#### *4. Общие положения.*

4.1 СНиП 2.05.02-85 исходя из зональных принципов относит территорию Новосибирской области к трем дорожно-климатическим зонам (II, III, IV). При этом, выделенная по признаку избыточного увлажнения, вторая дорожно-климатическая зона не включает тайги и лесные районы, расположенные севернее  $55^{\circ}$  с.ш., а также предгорье и горы Салаирского кряжа, которые занимают не менее 40% площади территории Новосибирской области.

4.2 Определение климатических и природных условий в пределах территории, охватываемой той или иной дорожно-климатической зоной, приводит к необоснованному назначению расчётных величин характеристик грунтов земляного полотна зависящая или занижая их в пределах конкретного района строительства, что снижает качество проектных решений и не обеспечивает эксплуатационную надёжность дорожных одежд.

4.3 На основе обобщений и анализа основных географических комплексов, влияющих на службу дорог, на территории Новосибирской области выделено 10 дорожных районов. Для дорожных районов, представляющих собой генетически однородную территорию, характеризуемую типичными, свойственными только ей климатом, геологией, рельефом местности, растительностью, почвами, родом грунта и его влажностью в характеристические периоды года, на основе изучения волнно-теплового режима земляного полотна автомобильных дорог региона рекомендован комплекс расчётных значений характеристик грунтов для расчёта нежёстких дорожных одежд по условиям морозоустойчивости и прочности.

4.4 Теоретические и экспериментальные исследования, а также анализ особенностей службы автомобильных дорог на территории юго-восточной части Западной Сибири показали, что влагонакопление и течение в грунтах земляного полотна в значительной мере определяются режимом промерзания дорожных конструкций. При этом наибольшее влагонакопление наблюдается после "мягких" зим, характеризующихся незначительной суммой отрицательных температур воздуха. Отмеченная особенность была учтена при назначении расчётных параметров глинистых грунтов для территории Новосибирской области.

4.5 В районах сезонного промерзания грунтов, на участках дорог, находящихся в неблагоприятных грунтово-гидрологических условиях, наряду с требуемой прочностью должна быть обеспечена достаточная морозоустойчивость дорожных одежд и земляного полотна. Обоснованное расчётом назначение общей толщины дорожной одежды из морозостойких материалов позволяет ограничить зону промерзания грунтов земляного полотна и уменьшить отрицательную роль пучения.

4.6 Расчётными значениями характеристик, необходимыми для определения толщины дорожной одежды по условию морозостойчивости и приведёнными в настоящем Стандарте, являются: допускаемое течение ( $l_{\text{доп}}$ ), величина которой назначается в зависимости от типа покрытия в см; коэффициент пучения ( $K_{\text{пуч}}$ ), определяемый по приложению 6 Инструкции ВСН 46-83, в долях единицы; комплексная характеристика грунта по степени

пучинистости ( $B$ ),  $\text{см}^2/\text{сут}$ ; климатический показатель ( $\alpha_0$ ),  $\text{см}^2/\text{сут}$ ; расчётная глубина промерзания ( $Z$ , см).

4.7 В процессе дальнейшего проектирования дорожной одежды, в пределах уже установленной её общей толщины по условию морозоустойчивости, расчётом на прочность определяют толщину отдельных конструктивных слоёв основания и покрытия.

4.8 Расчётными характеристиками деформативности и прочности грунтов при проектировании дорожных одежд по методу, приведённому в ВСН 46-83, и основанному на предположении о работе дорожных одежд в упругой стадии, являются: модуль упругости  $E_{\text{гр}}$  МПа; угол внутреннего трения  $\varphi_{\text{гр}}$ , град и коэффициент сцепления  $C_{\text{гр}}$ , МПа. Учитывая, что характеристики прочности и деформируемости глинистых грунтов существенно зависят от их влажности, в Стандарте приведены методы определения расчётных значений характеристик наиболее распространённых в Новосибирской области глинистых грунтов (суглинки и глины) для случаев близкого и глубокого залегания грунтовых вод.

4.9 Стандартом предусмотрено дифференцированное назначение расчётных характеристик связных грунтов на территории Новосибирской области с учётом уточнённых положений границ II, III и IV дорожно-климатических зон, в пределах подзон и районов, выделенных по физическим признакам.

#### *5. Дорожно-климатическое районирование территории*

##### *Новосибирской области*

5.1 В основу детализации районирования территории Новосибирской области положена таксонометрическая система: зона, подзона и район. В качестве единицы масштаба таксонометрической системы принят дорожный район, представляющий собой генетически однородную территорию, характеризуемую типичными, свойственными только ей климатом, геологией, родом грунта, его влажностью в характеристические периоды года, деформативными и прочностными свойствами.

5.2 Для территории Новосибирской области рекомендовано три дорожно-климатические зоны (I, II и III - по СНиП 2.05.02-85); три подзоны (Р - равнинная, Х - холмистая, Г - гористая); десять дорожных районов (от 1 до 5 - в зависимости от зоны и подзоны), которые представлены на рис. 1 и в табл. 1.

5.3 Для характеристики увлажнённости отдельных дорожных районов на территории Новосибирской области использован гидротермический коэффициент Селинова. Для II дорожно-климатической зоны значения  $K_c > 1,4$ ; для III ДКЗ  $K_c = 1-1,4$ ; для IV ДКЗ  $K_c < 1$ . Характеристика увлажнённости дорожных районов приведена в табл. 1.

5.4 По видам рельефа территории Новосибирской области разделена на 4 типа в зависимости от частоты чередования отметок и их высоты. Первый тип рельефа - равнинный; второй и третий - слабохолмистый и холмистый; четвёртый - гористый (табл. 2).



Рис. 1.1. Карта дорожного районирования территории Новосибирской области:  
II, III, IV - дорожно-климатические зоны; Р, Х, Г - подзоны по типам рельефа  
(равнинный, холмистый, гористый); 1, 2, 3, 4, 5 - номера дорожных районов

Таблица 1

Характеристика дорожных районов на территории Новосибирской области

Индекс дорожного района	Преобладающий тип грунта и степень его пучинистости	Уровень грунтовых вод, м.	Преобладающий тип местности по условиям увлажнения	Даты, установления устойчивых температур +5 °C - весна +10 °C - осень	Среднегодовая температура воздуха, °C	ГТК Селянинова
II. Р. 1. Кыштовка,	суглинки, глины, реже супеси; III-V	1...3	II...III	30.04...01.05; 08...10.09	-0,8 -1,1	1,41...1,55
Северное						
II. Х. 1. Тогучин	суглинки в т.ч. лёссовидные, супеси, глины; III	1...20	I...II	03.05; 13.09	-0,5	1,38
II. Г. 1. Маслянино	лёссовидные суглинки, глины; III	0,2...25	I...II	25.04; 10.09	-0,4	1,44
III. Р. 1. Венгерово	суглинки в т.ч. лёссовидные, глины; III	1...10	I...II	30.04; 15.09	-0,5	1,16
III. Р. 2. Болотное	лёссовидные суглинки, супеси; III	0,5...10	I...II	01.05; 11.09	-0,2	1,41
III. Р. 3. Татарск-	суглинки в т.ч. лёссовидные; III	0,5...10	I...II	28.04...01.05; 15...19.09	-0,4 -0,1	0,93...1,07
Чистоозёрное						
III. Р. 4. Чулым	суглинки, глины; III	1...10	I...II	29.04...01.05; 13...15.09	-0,5	1,25...1,31
III. Р. 5. Сузун	суглинки, глины, супеси	0,5...10	I...II	25.04; 16.09	0,0	1,16
III. Х. 1. Ордынское	суглинки, супеси в т. ч. лёссовидные, глины III...V	2...60	I...III	01.05; 15.09	-0,2	1,20
IV. Р. 1. Купино - Карасук	суглинки в т.ч. лёссовидные, супеси, глины; I, II	0,5...10	I...II	23...26.04; 15...17.09	+0,4	0,75...0,85

Таблица 2

## Характеристика основных геокомплексов дорожных районов на территории Новосибирской области

Шифр зоны, подзоны, района	Климатическая зона	Пункт административного района	Характеристика дорожного района			
			тип рельефа	грунты	вид и степень засоления грунтов	инженерно-геологические процессы и явления, возникающие при строительстве автомобильных дорог
II. Р. 1.	Северное	равнинный	аллювиально-озёрные связные глины, суглинки, супеси; лёсс и лёссовидные суглинки; растительный слой подстилают тяжёлосуглинистые и глинистые отложения	засоления нет	Сезонное пучение грунтов, подтопление, заболачивание, изменение болотных ландшафтов, смена растительности (гибель леса), уплотнение грунтов в основаниях дорожных сооружений, слабая эрозия	
		Кыштовка	равнинный			
II. Х. 1.	Зона лесов с избыточным увлажнением грунтов	Тогучин	холмистый, в восточной части гористый	лёсс и лёссовидные суглинки; растительный слой подстилают тяжёлосуглинистые и глинистые отложения	засоления нет	Сезонное пучение грунтов; подтопление, заболачивание; смена растительности; уплотнение грунтов в основаниях дорожных сооружений, нарушение поверхностного стока, изменение режима грунтовых вод, поверхностная эрозия, оврагообразование
		Маслянино	гористый	субазральные лёссы и лёссовидные породы; растительный слой подстилают тяжёлосуглинистые и глинистые отложения	засоления нет	Сезонное пучение грунтов, подтопление, заболачивание, нарушение поверхностного стока, изменение режима грунтовых вод, овражная эрозия, оползни при подрезке и нарушении склонов
III. Р. 1.	Зона лесостепи со значительным увлажнением в отдельные годы	Венгерово	равнинный	лёсс и лёссовидные суглинки; по долинам рек связные с рыхлыми; растительный слой подстилают тяжёлосуглинистые и глинистые отложения	слабое засоление, пёстрое по составу	Сезонное пучение грунтов; подтопление, заболачивание; смена растительности; нарушение поверхностного стока, изменение режима грунтовых вод, эрозия склонов и откосов, незначительные просадочные деформации лёссовых грунтов
		Болотное	равнинный	аллювиально-озёрные, связные-глины, суглинки, супеси; лёсс и лёссовидные суглинки; растительный слой подстилают тяжёлосуглинистые и глинистые отложения	засоления нет или очень слабое по составу	Сезонное пучение грунтов, подтопление, заболачивание, смена растительности, нарушение поверхностного режима грунтовых вод, поверхностная эрозия, оврагообразование

Продолжение табл.2

Шифр зоны, подзоны, района	Климатическая зона	Пункт административного района	Характеристика дорожного района			
			тип рельефа	грунты	вид и степень засоления грунтов	инженерно-геологические процессы и явления, возникающие при строительстве автомобильных дорог
III. Р. 3.	Зона лесостепи со значительным увлажнением в отдельные годы	Здвинск	равнинный	лёсс и лёссовидные суглинки; растительный слой подстилают тяжёлосуглинистые и глинистые отложения; в долинах рек глины, супеси, пески	засоление слабое и среднее, пёстрое по составу	Сезонное пучение грунтов, подтопление, заболачивание, смена растительности, нарушение поверхностного стока, изменение режима грунтовых вод, эрозия склонов и откосов, овражная эрозия, дефляция, суффозия, засоление и рассоление придорожной местности
		Чистоозёрное	равнинный	лёсс и лёссовидные суглинки, супеси аллювиальные; растительный слой подстилают тяжёлосуглинистые и глинистые отложения		
III. Р. 4.	Зона лесостепи со значительным увлажнением в отдельные годы	Чулым	равнинный	лёсс и лёссовидные суглинки, супеси аллювиальные; растительный слой подстилают тяжёлосуглинистые и глинистые отложения	засоления нет или очень слабое гидрокарбонатно-натриевое или кальциевое	Сезонное пучение грунтов, подтопление, заболачивание, смена растительности, нарушение поверхностного стока, изменение режима грунтовых вод, эрозия склонов и откосов, оползневые явления в долине р. Обь
		Сузун	равнинный	аллювиальные связные с рыхлыми; растительный слой подстилают тяжёлосуглинистые и глинистые отложения	слабое гидрокарбонатно-натриевое засоление	Сезонное пучение грунтов, подтопление, нарушение поверхностного стока, изменение режима грунтовых вод, эрозия склонов и откосов, просадочные деформации лёссовых грунтов
III. X. 1.	Степная зона с незначительным увлажнением	Ордынское	слабохолмистый эрозионно-расчленённый	лёсс и лёссовидные суглинки; растительный слой подстилают тяжёлосуглинистые и глинистые отложения; в долинах рек глины, супеси, пески	слабое гидрокарбонатно-натриевое засоление	Сезонное пучение грунтов, подтопление, заболачивание, уплотнение грунтов в основании дорожных сооружений, нарушение поверхностного стока, эрозия склонов и откосов, оползни при подрезке и нарушении склонов, просадочные деформации лёссовых грунтов
		Карасук	равнинный	аллювиальные связные с рыхлыми - глины, супеси, пески; лёсс и лёссовидные суглинки; растительный слой подстилают тяжёлосуглинистые и глинистые отложения	засоление слабое и среднее, пёстрое по составу	Уплотнение грунтов в основаниях дорожных сооружений; нарушение поверхностного стока, эрозия склонов и откосов, дефляция, суффозия, просадочные деформации лёссовых грунтов, засоление и рассоление придорожной местности

5.5 Исследования по изучению водно-теплового режима земляного полотна автомобильных дорог юго-восточной части Западной Сибири и, в частности, Новосибирской области, дают основание рекомендовать при расчёте дорожных одежд по условиям морозоустойчивости и прочности для выделенных районов характеристики глинистых грунтов (суглинков и глин).

## 6. Расчётные характеристики глинистых грунтов земляного полотна для расчёта дорожных одежд на морозоустойчивость

6.1 Зимнее вспучивание грунтов существенно не влияет на ровность покрытия и срок службы дорожной одежды если общее поднятие проезжей части в процессе промерзания конструкции не превышает следующих значений  $l_{\text{don}}$  (в сантиметрах):

Капитальная одежда:

Асфальтобетонное покрытие (горячая и тёплая смесь I и II марок) – 4 см.

Облегченная одежда:

Асфальтобетонное покрытие (горячая и тёплая смесь III марки) – 6 см.

Примечание. В районах Сибири, во II и III дорожно-климатических зонах значение  $l_{\text{don}}$  следует увеличивать на 20 – 40% (большее значение для облегчённых дорожных одежд).

6.2 Ожидаемое зимнее поднятие дорожной конструкции определяется размерами влагонакопления в земляном полотне, которое, в свою очередь, зависит от глубины и скорости промерзания грунта.

6.3 Расчётное значение глубины промерзания  $Z$  следует определять по данным региональных исследований. При отсутствии достоверных фактических данных о глубине промерзания ВСН 46-83 рекомендуется принимать значения характеристики по карте, приведённой в СНиП 2.01.01-85. Однако карта изолиний глубины промерзания, напечатанная отражение в СНиП 2.01.01-85 и ВСН 46-83, предназначена для целей фундаментостроения и не учитывает специфику работы дорожных конструкций в зимний период года.

6.4 При назначении характеристик грунтов, применяемых при расчёте дорожных одежд на морозоустойчивость в условиях Новосибирской области и приведённых в табл. 3, за расчётную принята вероятностная глубина промерзания дорожной конструкции, которая формируется в данных условиях района строительства в наиболее "мягкую" зиму, характеризующуюся медленным накоплением отрицательных температур воздуха и обеспечивающую наибольший приток мигрирующей влаги в рабочем слое земляного полотна в течение зимнего периода. Такой подход в определении глубины промерзания дорожной конструкции вызван следующим.

Влагонакопление и пучение в грунтах зависят от режима промерзания. Медленному промерзанию соответствует большее количество мигрирующей влаги. При прочих равных условиях, одной и той же величине пучения грунтов может соответствовать различная влажность и плотность рабочего слоя земляного полотна, а соответственно, и различная прочность грунтов в расчётный весенний период. При высокой скорости промерзания (более 1,6

см/сут) в начальный период зимы (октябрь – декабрь месяцы) и значительной глубине расположения границы промерзания, величина пучения может превысить допустимые пределы (см. п. 6.1), за счёт влажности слоёв грунта, расположенных ниже рабочего слоя, что не оказывается на прочности грунтов верхнего слоя земляного полотна и дорожной одежды в расчётный весенний период. Следовательно, высокая скорость и значительная глубина промерзания дорожной конструкции в "суховые" зимы не всегда являются причиной ухудшения эксплуатационного состояния дорожных одежд в расчётный период, в отличие от медленного и сравнительно неглубокого промерзания грунтов в "мягкие" зимы.

6.5 При составлении таблицы 3 для дорожных районов на территории Новосибирской области были применены зависимости, полученные ранее при изучении водно-теплового режима грунтов земляного полотна автомобильных дорог юго-восточной части Западной Сибири:

$$Z_p = m \ln \Theta_p + n, \quad (1)$$

где  $Z_p$  – расчётная глубина промерзания дорожной конструкции от низа дорожной одежды, см;  $\Theta_p$  – расчётная (исходя из "мягкой" зимы) сумма отрицательных температур воздуха за зиму, градусо-сутки;  $m=425$  и  $n=-1223,5$  – коэффициенты, установленные из условия наиболее полного соответствия расчётной глубины промерзания опытным данным.

6.6 Точность вычисления  $Z_p$  по формуле (1) в значительной мере зависит от правильности определения расчётной суммы отрицательных градусо-суток, которая принимается с определённой вероятностью за период между капитальными ремонтами дорожной одежды исходя из "мягкой" зимы:

$$\Theta_p = \Theta_{sp} - t\sigma, \quad (2)$$

где  $\Theta_{sp}$  – средняя многолетняя сумма отрицательных температур воздуха конкретного дорожного района, градусо-сутки;  $\sigma$  – среднее квадратическое отклонение величины  $\Theta_{sp}$ ;  $t$  – нормированное отклонение суммы от  $\Theta_{sp}$ .

Многолетние данные о температуре воздуха при назначении расчётных значений глубины промерзания, применительно к дорожным районам на территории Новосибирской области, были получены в Западно-Сибирском Территориальном управлении по гидрометеорологии и мониторингу окружающей среды (ЗСУМС).

6.7 Климатический показатель  $a_0$  следует назначать по данным табл. 3. При этом значения климатического показателя установлены по формуле:

$$a_0 = Z_p^2 / 2T_3, \quad (3)$$

где  $T_3$  – средняя многолетняя продолжительность промерзания грунта земляного полотна, сут.

Температура, обуславливавшая начало промерзания грунта земляного

полотна, получена на основе теплотехнического метода расчёта дорожной

Таблица 3  
Значения расчётных характеристик промерзания грунтов земляного полотна для расчёта дорожных одежд по  
условиям морозоустойчивости и оптимальные толщины конструкций дорожных одежд для дорожных  
районов на территории Новосибирской области

Индекс дорожного района	Административный пункт	Грунт земляного полотна	Расчётные характеристики				Предлагаемая толщина дорожной одежды, см при близком залегании грунтовых вод	глубоком залегании грунтовых вод
			$Z_{kp}$ , см	$Z_{kpr}$ , см	$a_0$ , см <sup>2</sup> /сут	$B$ , см <sup>2</sup> /сут		
II.P.1.	Кыштовка	Суглинки, глины	220	160	148	5,57	280	71
	Северное	Суглинки, глины	220	160	148	5,57		71
	Кольвань	Суглинки, глины	212	160	141	5,57		66
II.X.1.	Тогучин	Суглинки, супеси, глины	210	160	141	5,31	280	68
	Маслянино	Суглинки, глины	214	160	144	5,42		68
III.P.1.	Венгерово	Суглинки, глины	196	150	142	5,34	290	55
	Болотное	Суглинки, супеси	208	160	135	5,08		45
III.P.2.	Эдинск	Суглинки, супеси, глины	218	150	149	5,61	290	56
	Барбинск	Суглинки, супеси, глины	216	150	148	5,57		45
III.P.3.	Каргат	Суглинки, глины	216	150	146	5,49	290	44
	Новосибирск	Суглинки, глины	208	150	139	5,23		44
III.P.4.	Кочки	Суглинки, глины	214	150	144	5,42	290	45
	Сузун	Суглинки, супеси, глины	206	150	139	5,23		46
III.X.1.	Ордынское	Суглинки, супеси, глины	208	160	141	5,31	280	65
	Карасук	Суглинки, супеси, глины	208	140	140	5,27		57
IV.P.1.	Купино	Суглинки, супеси, глины	214	140	145	5,41	300	35
							300	38

Примечание: толщины дорожных одежд, приведённые в табл. 3, назначены исходя из неблагоприятных условий работы дорожных конструкций

конструкции, как слоистой системы. За конец периода промерзания принята дата наступления весной устойчивой температуры воздуха выше 0 °C. 6.8 Комплексная характеристика грунта по степени пучинистости  $B$ , см<sup>2</sup>/сут назначена (табл. 3) на основе данных испытаний грунта на отдельно для участков с глубоким (I и II типы местности по увлажнению) и с близким залеганием грунтовых вод (III тип местности по увлажнению). Пол находятся на глубине меньшей, чем глубина промерзания, плюс высота капиллярного поднятия в грунте. Высоту капиллярного поднятия в глинистых грунтах можно принять ориентировочно равной 3...5 м.

6.10 Для участков автомобильных дорог с глубоким залеганием грунтовых вод общую толщину стабильных слоев дорожной одежды  $Z_t$  следует назначать по формуле профессора Н.А. Пузакова:

$$Z_t = Z_{kp} - (l_{dot} \alpha) / (B \beta \gamma), \quad (4)$$

где  $Z_{kp}$  – критическая глубина промерзания, в пределах которой течение грунта оказывает влияние на неравномерность деформации покрытия дорожной одежды. Для глин и суглинков величина  $Z_{kp}$  составляет 160 см, для тяжёлых пылеватых суглинков  $Z_{kp}=140$  см;  $\beta$  – коэффициент, учитывающий гидрологические условия местности (для сухих мест  $\beta=1$ , для сырьих  $\beta=1,5$ );  $\gamma$ -коэффициент, учитывающий конструкцию земляного полотна (для насыпей  $\gamma=1,0$ , для выемок  $\gamma=1,5$ ).

6.6 Для участков автомобильных дорог с близким залеганием грунтовых вод общую толщину конструкции дорожной одежды для обеспечения морозоустойчивости следует определять руководствуясь положениями Инструкции ВСН 46-83.

6.7 Рекомендуемые по условию морозоустойчивости толщины конструкций дорожных одежд для участков дорог с близким и глубоким залеганием грунтовых вод, в пределах выделенных на территории Новосибирской области дорожных районов, приведены в таблице 3.

## 7. Расчётные характеристики глинистых грунтов для расчёта неёсёстких дорожных одежд на прочность

7.1 Основными параметрами механических свойств грунта земляного полотна, которыми пользуются в расчётах дорожных одежд на прочность, служат деформативные и прочностные характеристики: относительная влажность  $W_{sp}$ ; модуль упругости  $E_{sp}$ ; угол внутреннего трения  $\varphi_{sp}$  и удельное сцепление  $C_{sp}$ .

7.2 Прочностные и деформативные характеристики грунта зависят от влажности, плотности, структуры, генезиса, а также от режима его нагружения.

Поэтому такие характеристики назначают в два этапа – вначале определяют расчётную влажность, а затем устанавливают  $E_{cr}$ ,  $\varphi_{cr}$  и  $C_{cr}$  при расчётной влажности.

7.3 При назначении величин расчётной влажности глинистого грунта  $W_p$  (табл. 4, 6) учтены результаты длительного изучения водно-температурного режима земляного полотна и дорожных одежд в условиях близкого и глубокого залегания грунтовых вод на автомобильных дорогах юго-восточной части Западной Сибири.

7.4 Для определения расчётной влажности грунта в условиях глубокого залегания грунтовых вод (табл. 4) предложена зависимость, позволяющая учитывать температурно-влажностный режим отдельных дорожных районов на территории Новосибирской области:

$$W_p = (cK_0)/(\ln \Theta_p - I), \quad (5)$$

где  $\Theta_p$  – расчётная (исходя из "мягкой" зимы) сумма отрицательных температур воздуха за период промерзания рабочего слоя земляного полотна, градусо-сутки;  $K_0$  – гидротермический коэффициент Селянинова, мм/градусо-сутки;  $c$  – коэффициент размерности.

7.5 Учитывая, что значительная часть территории Новосибирской области характеризуется избыточным увлажнением, а грунтово-гидрологические и климатические условия предопределяют увлажнение земляного полотна в жидкой форме, для определения величин расчётной влажности грунта  $W_p$  при близком залегании грунтовых вод принят метод профессора И.А. Золотаря.

Сущность метода заключается в последовательном прогнозировании осенней  $W_{oc}$  и весенней  $W_{ws}$  влажности грунта земляного полотна с учётом:

- характера увлажнения земляного полотна;
- глубины расположения грунтовых вод осенью;
- возышения бровки земляного полотна  $H_s$  над уровнем грунтовых вод, см;
- коэффициента влагопроводности грунта земляного полотна  $K_1$ , установленного по табл. 5 или по формуле 6.

$$k_1 = a + \frac{b \ln W_e}{W_e} + \frac{c}{\rho^2}, \quad (6)$$

где  $K_1$  – коэффициент влагопроводности грунта,  $\text{см}^2/\text{час}$ ;  $W_e$  – естественная влажность грунта, %;  $\rho$  – плотность грунта,  $\text{г}/\text{см}^3$ ;  $a$ ,  $b$ ,  $c$  – коэффициенты:  $a = -49,987$ ,  $b = 281,825$ ,  $c = 916,26$ .

- продолжительности периода осенного влагонакопления  $\tau_{us}$ , которую устанавливают с учётом метеорологических характеристик района;
- особенности конструкции дорожной одежды;
- характеристики скорости промерзания дорожной конструкции.

**Расчетные значения характеристик глинистых (суглинки легкие и тяжелые, глины) грунтов земляного полотна для участков дорог с глубоким залеганием грунтовых вод**

Индекс дорожного покрытия	Тип	W, в долях единицы	E <sub>cr</sub> , МПа	Ф <sub>cr</sub> , грд.	C <sub>cr</sub> , МПа
П.Р.1	A	0,84	21,0	12	0,048
	Б	0,83	21,5	12	0,048
П.Х.1	A	0,78	23,0	13	0,050
	Б	0,77	23,5	14	0,049
П.Г.1	A	0,80	22,5	13	0,049
	Б	0,79	23,0	13	0,056
III.Р.1	A	0,67	28,5	18	0,049
	Б	0,66	29,0	19	0,057
III.Р.2	A	0,79	23,0	13	0,049
	Б	0,78	23,5	14	0,050
III.Р.3	A	0,70	27,0	17	0,054
	Б	0,68	28,0	18	0,055
III.Р.4	A	0,61	33,0	22	0,061
	Б	0,60	34,0	22	0,062
III.Р.5	A	0,67	28,5	18	0,056
	Б	0,66	29,0	19	0,057
III.Х.1	A	0,77	23,5	14	0,050
	Б	0,76	24,0	14	0,051
IV.Р.1	A	0,67	29,0	18	0,056
	Б	0,65	30,0	19	0,058

Примечание: A – усовершенствованные покрытия капитального типа (уровень проектной надежности  $K_n=0,95$ ); Б – усовершенствованные покрытия облегченного типа (уровень проектной надежности  $K_n=0,90$ ).

Таблица 5

Значения коэффициентов влагопроницаемости для глинистых грунтов

западно – сибирского региона

Коэффициент влагопроницаемости $K_b$ , см <sup>2</sup> /час	Естественная влажность $W_e$ , %	Плотность $\rho$ , г/см <sup>3</sup>
1,4	18,5	2,0
3,19	22,9	1,6
3,24	22,9	1,8
3,5	25,9	1,7
3,9	18,5	1,7
6,2	13,8	1,8

Примечание: коэффициенты влагопроницаемости получены экспериментально по методу Созодорки.

7.6 Прочностные и деформативные характеристики, рекомендуемые для расчёта нежёстких дорожных одежд по условию прочности на территории Новосибирской области при глубоком и близком залегании грунтовых вод (табл. 4, 6), получены на основе экспериментально установленных зависимостей вида:  $E_{gr}, \varphi_{gr}, c_{gr} = f(W_p)$  и представлены на рис. 2, 3, 4.

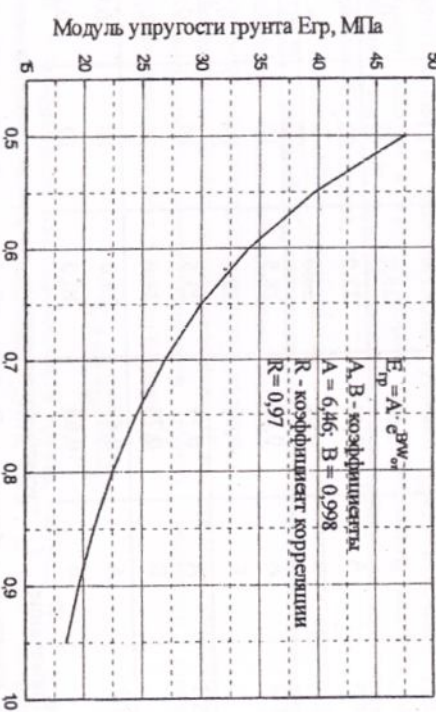


Рис.2. График зависимости модуля упругости глинистого грунта (суглинки легкие и тяжелые, глины) от его относительной влажности

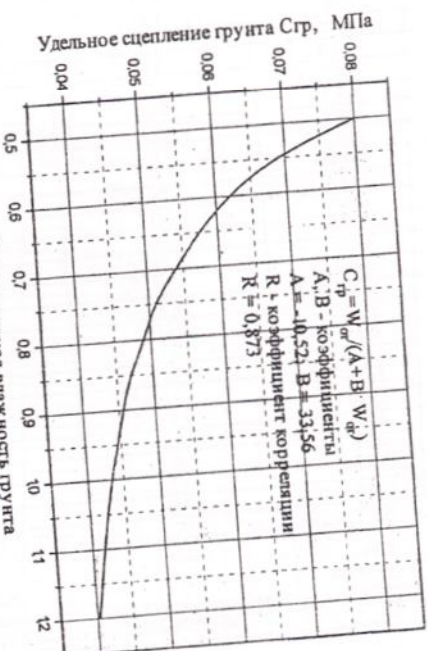


Рис. 3. График зависимости удельного сцепления глинистого грунта (суглинки легкие и тяжелые, глины) от его относительной влажности

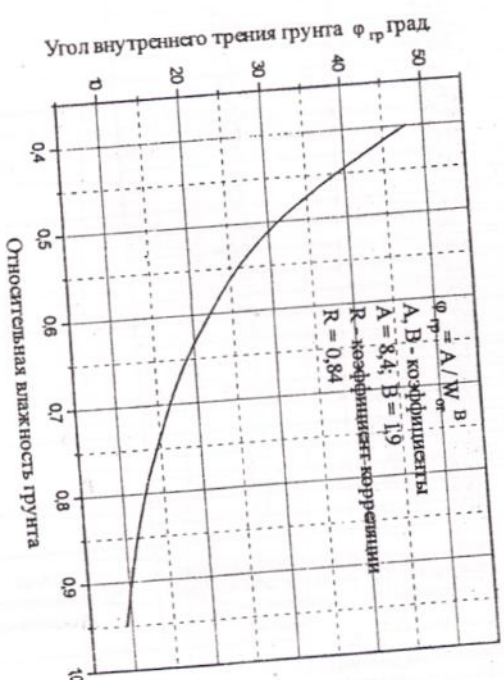


Рис. 4. График зависимости угла внутреннего трения глинистого грунта (суглинки легкие и тяжелые, глины) от его относительной влажности

Таблица 6

Район II.P.1 (Кыштовка)  
 Продолжительность осеннего влагонакопления - 2712 часов  
 Минимальная среднемесечная температура воздуха -20,7 °C

Грунт - глина

Коэффициент влагопроводности $K_\phi$ , см/сут	Уровень грунтовых или поверхностных вод от верха земляного полотна $H$ , м	Расчетные значения показателей грунта			
		весенняя относительная влажность в долях, $W_{\text{от}}^{\text{вес}}$	модуль упругости $E_{\text{тр}}$ , МПа	угол внутреннего трения $\Phi_{\text{тр}}$ , град	удельное сцепление $C_{\text{тр}}$ , МПа
1	0,5	0,904	19,5	10,2	0,046
	1,0	0,837	21,3	11,8	0,048
	1,5	0,733	25,2	15,2	0,052
	2,0	0,667	28,9	18,1	0,056
	2,5	0,637	31,0	19,8	0,059
1,5	0,5	0,938	18,7	9,5	0,045
	1,0	0,865	20,5	11,1	0,047
	1,5	0,752	24,4	14,4	0,051
	2,0	0,679	28,1	17,5	0,055
	2,5	0,648	30,2	19,2	0,058
2	0,5	0,967	18,1	9,0	0,044
	1,0	0,889	19,9	10,5	0,046
	1,5	0,769	23,7	13,8	0,050
	2,0	0,691	27,4	17,0	0,055
	2,5	0,657	29,5	18,7	0,057
2,5	0,5	0,993	17,7	8,5	0,044
	1,0	0,910	19,4	10,0	0,045
	1,5	0,784	23,1	13,3	0,050
	2,0	0,701	26,8	16,5	0,054
	2,5	0,666	28,9	18,2	0,056
3	0,5	--	--	--	--
	1,0	0,930	18,9	9,6	0,045
	1,5	0,797	22,6	12,9	0,049
	2,0	0,710	26,4	16,1	0,053
	2,5	0,674	28,4	17,8	0,056

Продолжение табл. 6

Район II.P.1 (Северное)  
 Продолжительность осеннего влагонакопления - 2712 часов  
 Минимальная среднемесечная температура воздуха -20,8 °C

Грунт - суглинок

Коэффициент влагопроводности $K_\phi$ , см/сут	Уровень грунтовых или поверхностных вод от верха земляного полотна $H$ , м	Расчетные значения показателей грунта			
		весенняя относительная влажность в долях, $W_{\text{от}}^{\text{вес}}$	модуль упругости $E_{\text{тр}}$ , МПа	угол внутреннего трения $\Phi_{\text{тр}}$ , град	удельное сцепление $C_{\text{тр}}$ , МПа
2	0,5	--	--	--	--
	1,0	0,941	18,7	9,4	0,045
	1,5	0,771	23,6	13,8	0,050
	2,0	0,681	28,0	17,4	0,055
	2,5	0,638	30,9	19,7	0,059
3	0,5	--	--	--	--
	1,0	--	--	--	--
	1,5	0,813	22,1	12,4	0,048
	2,0	0,713	26,2	16,0	0,053
	2,5	0,666	28,9	18,2	0,056
4	0,5	--	--	--	--
	1,0	--	--	--	--
	1,5	0,849	20,9	11,5	0,047
	2,0	0,741	24,9	14,8	0,052
	2,5	0,691	27,4	17,0	0,055
5	0,5	--	--	--	--
	1,0	--	--	--	--
	1,5	0,881	20,1	10,7	0,046
	2,0	0,766	23,8	13,9	0,050
	2,5	0,713	26,2	16,0	0,053
6	0,5	--	--	--	--
	1,0	--	--	--	--
	1,5	0,91	19,4	10,0	0,045
	2,0	0,789	22,9	13,2	0,049
	2,5	0,733	25,2	15,2	0,052

Продолжение табл. 6

## Район II.P.1 (Колывань)

Продолжительность осеннего влагонакопления - 1704 часов  
Минимальная среднемесячная температура воздуха -19,3 °C

Грунт - суглинок

Коэффициент влагопроводности $K_f$ , см/сут	Уровень грунтовых или поверхностных вод от верха земляного полотна $H$ , м	Расчетные значения показателей грунта			удельное сцепление $C_{tp}$ , МПа
		весенняя относительная влажность в долях, $W_{ot}^{se}$	модуль упругости $E_{tp}$ , МПа	угол внутреннего трения $\Phi_{tp}$ , град	
2	0,5	0,923	19,1	9,8	0,045
	1,0	0,788	22,9	13,2	0,049
	1,5	0,661	29,3	18,4	0,057
	2,0	0,604	33,8	21,9	0,062
	2,5	0,584	35,7	23,3	0,064
	0,5	0,969	18,1	8,9	0,044
3	0,5	0,820	21,8	12,2	0,048
	1,0	0,682	27,9	17,4	0,055
	1,5	0,619	32,4	20,9	0,060
	2,0	0,597	34,4	22,4	0,063
	2,5	--	--	--	--
	0,5	0,849	20,9	11,5	0,047
4	1,0	0,700	26,9	16,5	0,054
	1,5	0,633	31,3	20,0	0,059
	2,0	0,609	33,3	21,6	0,061
	2,5	--	--	--	--
	0,5	0,874	20,3	10,8	0,046
	1,0	0,716	26,1	15,8	0,053
5	1,5	0,645	30,4	19,3	0,058
	2,0	0,620	32,3	20,8	0,060
	2,5	--	--	--	--
	0,5	0,897	19,7	10,3	0,046
	1,0	0,731	25,3	15,2	0,052
	1,5	0,656	29,6	18,7	0,057
6	2,0	0,630	31,5	20,2	0,059
	2,5	--	--	--	--

Продолжение табл. 6

## Район III.P.2 (Болотное)

Продолжительность осеннего влагонакопления - 1968 часов  
Минимальная среднемесячная температура воздуха -18,6 °C

Грунт - суглинок

Коэффициент влагопроводности $K_f$ , см/сут	Уровень грунтовых или поверхностных вод от верха земляного полотна $H$ , м	Расчетные значения показателей грунта			удельное сцепление $C_{tp}$ , МПа
		весенняя относительная влажность в долях, $W_{ot}^{se}$	модуль упругости $E_{tp}$ , МПа	угол внутреннего трения $\Phi_{tp}$ , град	
2	0,5	--	--	--	--
	1,0	0,941	18,7	9,4	0,045
	1,5	0,771	23,6	13,8	0,050
	2,0	0,681	28,0	17,4	0,055
	2,5	0,638	30,9	19,7	0,059
	0,5	--	--	--	--
3	1,0	--	--	--	--
	1,5	0,813	22,1	12,4	0,048
	2,0	0,713	26,2	16,0	0,053
	2,5	0,666	28,9	18,2	0,056
	0,5	--	--	--	--
	1,0	--	--	--	--
4	1,5	0,849	20,9	11,5	0,047
	2,0	0,741	24,9	14,8	0,052
	2,5	0,691	27,4	17,0	0,055
	0,5	--	--	--	--
	1,0	--	--	--	--
	1,5	0,881	20,1	10,7	0,046
5	2,0	0,766	23,8	13,9	0,050
	2,5	0,713	26,2	16,0	0,053
	0,5	--	--	--	--
	1,0	--	--	--	--
	1,5	0,91	19,4	10,0	0,045
	2,0	0,789	22,9	13,2	0,049
6	2,5	0,733	25,2	15,2	0,052
	0,5	--	--	--	--

Продолжение табл. 6

## Район II.X.1 (Тогучин)

Продолжительность осеннего влагонакопления - 1968 часов

Минимальная среднемесячная температура воздуха  $-19,5^{\circ}\text{C}$ 

Грунт - глина

Коэффициент влагопроводности $K_{\phi}$ , см/сут	Уровень грунтовых или поверхностных вод от верха земляного полотна $H$ , м	Расчетные значения показателей грунта			
		весенняя относительная влажность в долях, $W_{\text{от}}^{\text{вс}}$	модуль упругости $E_{\text{тр}}$ , МПа	угол внутреннего трения $\Phi_{\text{тр}}$ , град	удельное сцепление $C_{\text{тр}}$ , МПа
1	0,5	0,759	24,1	14,2	0,051
	1,0	0,690	27,5	17,0	0,055
	1,5	0,614	32,9	21,2	0,061
	2,0	0,576	36,6	24,0	0,065
	2,5	0,561	38,3	25,2	0,068
	0,5	0,773	23,5	13,7	0,050
1,5	1,0	0,698	27,0	16,6	0,054
	1,5	0,618	32,5	21,0	0,060
	2,0	0,577	36,5	23,9	0,065
	2,5	0,561	38,3	25,2	0,068
	0,5	0,785	23,1	13,3	0,050
	1,0	0,706	26,6	16,3	0,054
2	1,5	0,621	32,3	20,8	0,060
	2,0	0,578	36,4	23,8	0,065
	2,5	0,562	38,2	25,1	0,067
	0,5	0,796	22,7	13,0	0,049
	1,0	0,713	26,2	16,0	0,053
	1,5	0,624	32,0	20,6	0,060
2,5	2,0	0,579	36,2	23,7	0,065
	2,5	0,562	38,2	25,1	0,067
	0,5	0,806	22,3	12,7	0,049
	1,0	0,720	25,9	15,7	0,053
	1,5	0,626	31,8	20,5	0,060
	2,0	0,580	36,1	23,6	0,065
3	2,5	0,562	38,2	25,1	0,067

Продолжение табл. 6

## Район II.G.1 (Маслянино)

Продолжительность осеннего влагонакопления - 1728 часов

Минимальная среднемесячная температура воздуха  $-20,4^{\circ}\text{C}$ 

Грунт - суглинок

Коэффициент влагопроводности $K_{\phi}$ , см/сут	Уровень грунтовых или поверхностных вод от верха земляного полотна $H$ , м	Расчетные значения показателей грунта			
		весенняя относительная влажность в долях, $W_{\text{от}}^{\text{вс}}$	модуль упругости $E_{\text{тр}}$ , МПа	угол внутреннего трения $\Phi_{\text{тр}}$ , град	удельное сцепление $C_{\text{тр}}$ , МПа
2	0,5	0,895	19,7	10,4	0,046
	1,0	0,791	22,8	13,1	0,049
	1,5	0,692	27,4	16,9	0,054
	2,0	0,646	30,3	19,3	0,058
	2,5	0,630	31,5	20,2	0,059
	0,5	0,936	18,8	9,5	0,045
3	1,0	0,822	21,8	12,2	0,048
	1,5	0,713	26,2	16,0	0,053
	2,0	0,663	29,1	18,3	0,057
	2,5	0,646	30,3	19,3	0,058
	0,5	0,971	18,1	8,9	0,044
	1,0	0,849	20,9	11,5	0,047
4	1,5	0,732	25,3	15,2	0,052
	2,0	0,678	28,2	17,6	0,055
	2,5	0,659	29,4	18,6	0,057
	0,5	--	--	--	--
	1,0	0,873	20,3	10,9	0,046
	1,5	0,748	24,5	14,6	0,051
5	2,0	0,692	27,4	16,9	0,054
	2,5	0,672	28,6	17,9	0,056
	0,5	--	--	--	--
	1,0	0,895	19,7	10,4	0,046
	1,5	0,764	23,9	14,0	0,051
	2,0	0,704	26,7	16,4	0,054
6	2,5	0,683	27,9	17,3	0,055

Продолжение табл. 6

## Район III.X.1 (Ордынское)

Продолжительность осеннеого влагонакопления - 1608 часов

Минимальная среднемесечная температура воздуха  $-19,7^{\circ}\text{C}$ 

Грунт - глина

Коэффициент влагопроводности $K_{\phi}$ , см/сут	Уровень грунтовых или поверхностных вод от верха земляного полотна $H$ , м	весенняя относительная влажность в долях, $W_{\text{от}}^{\text{вс}}$	Расчетные значения показателей грунта		
			модуль упругости $E_{\text{тр}}$ , МПа	угол внутреннего трения $\Phi_{\text{тр}}$ , град	удельное сцепление $C_{\text{тр}}$ , МПа
1	0,5	0,802	22,4	12,8	0,049
	1,0	0,706	26,6	16,3	0,054
	1,5	0,616	32,7	21,1	0,061
	2,0	0,572	37,0	24,3	0,066
	2,5	0,558	38,7	25,4	0,068
	0,5	0,817	21,9	12,3	0,048
1,5	0,5	0,713	26,2	16,0	0,053
	1,0	0,616	32,7	21,1	0,061
	1,5	0,571	37,1	24,4	0,066
	2,0	0,556	38,9	25,6	0,068
	2,5	0,829	21,5	12,0	0,048
	0,5	0,72	25,9	15,7	0,053
2	1,0	0,617	32,6	21,0	0,061
	1,5	0,571	37,1	24,4	0,066
	2,0	0,55	39,7	26,2	0,069
	2,5	0,841	21,2	11,7	0,048
	0,5	0,726	25,6	15,4	0,052
	1,0	0,619	32,4	20,9	0,060
2,5	1,5	0,57	37,2	24,4	0,066
	2,0	0,553	39,3	25,9	0,069
	2,5	0,851	20,9	11,4	0,047
	0,5	0,731	25,3	15,2	0,052
	1,0	0,62	32,3	20,8	0,060
	1,5	0,569	37,4	24,5	0,066
3	2,0	0,552	39,4	26,0	0,069
	2,5				

Продолжение табл. 6

## Район III.P.4 (Кочки)

Продолжительность осеннеого влагонакопления - 888 часов

Минимальная среднемесечная температура воздуха  $-20^{\circ}\text{C}$ 

Грунт - глина

Коэффициент влагопроводности $K_{\phi}$ , см/сут	Уровень грунтовых или поверхностных вод от верха земляного полотна $H$ , м	весенняя относительная влажность в долях, $W_{\text{от}}^{\text{вс}}$	Расчетные значения показателей грунта		
			модуль упругости $E_{\text{тр}}$ , МПа	угол внутреннего трения $\Phi_{\text{тр}}$ , град	удельное сцепление $C_{\text{тр}}$ , МПа
1	0,5	0,798	22,6	12,9	0,049
	1,0	0,658	29,5	18,6	0,057
	1,5	0,580	36,1	23,6	0,065
	2,0	0,558	38,7	25,4	0,068
	2,5	0,554	39,2	25,8	0,069
	0,5	0,811	22,1	12,5	0,049
1,5	0,5	0,662	29,2	18,4	0,057
	1,0	0,579	36,2	23,7	0,065
	1,5	0,556	38,9	25,6	0,068
	2,0	0,552	39,4	26,0	0,069
	0,5	0,824	21,7	12,1	0,048
	1,0	0,666	28,9	18,2	0,056
2	1,5	0,579	36,2	23,7	0,065
	2,0	0,554	39,2	25,8	0,069
	2,5	0,550	39,7	26,2	0,069
	0,5	0,835	21,4	11,8	0,048
	1,0	0,669	28,7	18,0	0,056
	1,5	0,579	36,2	23,7	0,065
2,5	2,0	0,553	39,3	25,9	0,069
	2,5	0,548	40,0	26,3	0,070
	0,5	0,845	21,1	11,6	0,047
	1,0	0,673	28,5	17,8	0,056
	1,5	0,578	36,4	23,8	0,065
	2,0	0,551	39,6	26,1	0,069
3	2,5	0,547	40,1	26,4	0,070

Продолжение табл. 6

## Район III.P.1 (Венгерово)

Продолжительность осеннего влагонакопления - 1704 часов

Минимальная среднемесчаная температура воздуха -20,1 °C

Грунт - глина

Коэффициент влагопроводности $K_f$ , см/сут	Уровень грунтовых или поверхностных вод от верха земляного полотна $H$ , м	Расчетные значения показателей грунта			
		весенняя относительная влажность в долях, $W_{ot}^{ac}$	модуль упругости $E_{tp}$ , МПа	угол внутреннего трения $\Phi_{tp}$ , град	удельное сцепление $C_{tp}$ , МПа
1	0,5	0,730	25,4	15,3	0,052
	1,0	0,657	29,5	18,7	0,057
	1,5	0,593	34,8	22,7	0,063
	2,0	0,563	38,1	25,0	0,067
	2,5	0,553	39,3	25,9	0,069
1,5	0,5	0,749	24,5	14,5	0,051
	1,0	0,670	28,7	18,0	0,056
	1,5	0,601	34,0	22,1	0,062
	2,0	0,569	37,4	24,5	0,066
	2,5	0,559	38,6	25,4	0,068
2	0,5	0,767	23,8	13,9	0,050
	1,0	0,682	27,9	17,4	0,055
	1,5	0,609	33,3	21,6	0,061
	2,0	0,575	36,7	24,0	0,066
	2,5	0,564	37,9	24,9	0,067
2,5	0,5	0,782	23,2	13,4	0,050
	1,0	0,693	27,3	16,9	0,054
	1,5	0,615	32,8	21,2	0,061
	2,0	0,580	36,1	23,6	0,065
	2,5	0,568	37,5	24,6	0,066
3	0,5	0,797	22,6	12,9	0,049
	1,0	0,702	26,8	16,5	0,054
	1,5	0,622	32,2	20,7	0,060
	2,0	0,585	35,6	23,3	0,064
	2,5	0,572	37,0	24,3	0,066

Продолжение табл. 6

## Район III.P.3 (Барабинск)

Продолжительность осеннего влагонакопления - 1968 часов

Минимальная среднемесчная температура воздуха -20,2 °C

Грунт - глина

Коэффициент влагопроводности $K_f$ , см/сут	Уровень грунтовых или поверхностных вод от верха земляного полотна $H$ , м	Расчетные значения показателей грунта			
		весенняя относительная влажность в долях, $W_{ot}^{ac}$	модуль упругости $E_{tp}$ , МПа	угол внутреннего трения $\Phi_{tp}$ , град	удельное сцепление $C_{tp}$ , МПа
1	0,5	0,674	28,4	17,8	0,056
	1,0	0,613	32,9	21,3	0,061
	1,5	0,553	39,3	25,9	0,069
	2,0	0,526	43,1	28,5	0,074
	2,5	0,516	44,7	29,5	0,076
1,5	0,5	0,691	27,4	17,0	0,055
	1,0	0,624	32,0	20,6	0,060
	1,5	0,651	30,0	19,0	0,057
	2,0	0,631	31,4	20,1	0,059
	2,5	0,521	43,9	29,0	0,075
2	0,5	0,705	26,6	16,3	0,054
	1,0	0,635	31,1	19,9	0,059
	1,5	0,568	37,5	24,6	0,066
	2,0	0,536	41,6	27,5	0,072
	2,5	0,525	43,3	28,6	0,074
2,5	0,5	0,718	26,0	15,8	0,053
	1,0	0,644	30,5	19,4	0,058
	1,5	0,574	36,8	24,1	0,066
	2,0	0,541	40,9	27,0	0,071
	2,5	0,530	42,5	28,1	0,073
3	0,5	0,730	25,4	15,3	0,052
	1,0	0,653	29,8	18,9	0,057
	1,5	0,579	36,2	23,7	0,065
	2,0	0,545	40,4	26,6	0,070
	2,5	0,533	42,1	27,8	0,072

## Продолжение табл. 6

Район III.P.5 (Сузун)

Продолжительность осеннеого влагонакопления - 1704 часов  
Минимальная среднемесечная температура воздуха -19,8 °C

Грунт - суглинок

Коэффициент влагопроводности $K_f$ , см/сут	Уровень грунтовых или поверхностных вод от верха земляного полотна $H$ , м	Расчетные значения показателей грунта			
		весенняя относительная влажность в долях, $W_{ot}^{ve}$	модуль упругости $E_{tp}$ , МПа	угол внутреннего трения $\Phi_{tp}$ , град	удельное сцепление $C_{tp}$ , МПа
2	0,5	0,893	19,8	10,4	0,046
	1,0	0,781	23,2	13,4	0,050
	1,5	0,676	28,3	17,7	0,056
	2,0	0,628	31,7	20,3	0,059
	2,5	0,612	33,0	21,4	0,061
3	0,5	0,936	18,8	9,5	0,045
	1,0	0,813	22,1	12,4	0,048
	1,5	0,699	27,0	16,6	0,054
	2,0	0,647	30,2	19,2	0,058
	2,5	0,629	31,6	20,3	0,059
4	0,5	0,974	18,0	8,8	0,044
	1,0	0,842	21,2	11,6	0,047
	1,5	0,719	25,9	15,7	0,053
	2,0	0,663	29,1	18,3	0,057
	2,5	0,643	30,5	19,4	0,058
5	0,5	--	--	--	--
	1,0	0,867	20,4	11,0	0,047
	1,5	0,737	25,0	15,0	0,052
	2,0	0,678	28,2	17,6	0,055
	2,5	0,657	29,5	18,7	0,057
6	0,5	--	--	--	--
	1,0	0,890	19,8	10,5	0,046
	1,5	0,753	24,3	14,4	0,051
	2,0	0,691	27,4	17,0	0,055
	2,5	0,669	28,7	18,0	0,056

## Продолжение табл. 6

Район IV.P.1 (Купино)

Продолжительность осеннеого влагонакопления - 312 часов  
Минимальная среднемесечная температура воздуха -19,9 °C

Грунт - глина

Коэффициент влагопроводности $K_f$ , см/сут	Уровень грунтовых или поверхностных вод от верха земляного полотна $H$ , м	Расчетные значения показателей грунта			
		весенняя относительная влажность в долях, $W_{ot}^{ve}$	модуль упругости $E_{tp}$ , МПа	угол внутреннего трения $\Phi_{tp}$ , град	удельное сцепление $C_{tp}$ , МПа
1	0,5	0,897	19,7	10,3	0,046
	1,0	0,641	30,7	19,6	0,058
	1,5	0,593	34,8	22,7	0,063
	2,0	0,551	39,6	26,1	0,069
	2,5	0,546	40,2	26,5	0,070
1,5	0,5	0,923	19,1	9,8	0,045
	1,0	0,647	30,2	19,2	0,058
	1,5	0,595	34,6	22,5	0,063
	2,0	0,551	39,6	26,1	0,069
	2,5	0,546	40,2	26,5	0,070
2	0,5	0,946	18,6	9,3	0,045
	1,0	0,652	29,9	18,9	0,057
	1,5	0,597	34,4	22,4	0,063
	2,0	0,550	39,7	26,2	0,069
	2,5	0,545	40,4	26,6	0,070
2,5	0,5	0,967	18,1	9,0	0,044
	1,0	0,656	29,6	18,7	0,057
	1,5	0,599	34,2	22,2	0,063
	2,0	0,550	39,7	26,2	0,069
	2,5	0,545	40,4	26,6	0,070
3	0,5	0,986	17,8	8,6	0,044
	1,0	0,660	29,3	18,5	0,057
	1,5	0,601	34,0	22,1	0,062
	2,0	0,550	39,7	26,2	0,069
	2,5	0,544	40,5	26,7	0,070

### Продолжение табл. 6

Район IV.P.1 (Карасук)

Продолжительность осенне-зимнего влагонакопления - 312 часов  
Минимальная среднемесячная температура воздуха  $-19,8^{\circ}\text{C}$   
Грунт - суглиник

Коэффициент влагопроводности $K_f$ , см/сут	Уровень грунтовых или поверхностных вод от верха земляного полотна $H$ , м	Расчетные значения показателей грунта			
		весенняя относительная влажность в долях, $W_{\text{от}}^{\text{вс}}$	модуль упругости $E_{\text{гр}}$ , МПа	угол внутреннего трения $\Phi_{\text{тр}}$ , град	удельное сцепление $C_{\text{тр}}$ , МПа
2	0,5	0,964	18,2	9,0	0,044
	1,0	0,704	26,7	16,4	0,054
	1,5	0,654	29,7	18,8	0,057
	2,0	0,612	33,0	21,4	0,061
	2,5	0,607	33,5	21,7	0,062
3	0,5	--	--	--	--
	1,0	0,730	25,4	15,3	0,052
	1,5	0,676	28,3	17,7	0,056
	2,0	0,629	31,6	20,3	0,059
	2,5	0,624	32,0	20,6	0,060
4	0,5	--	--	--	--
	1,0	0,753	24,3	14,4	0,051
	1,5	0,695	27,2	16,8	0,054
	2,0	0,645	30,4	19,3	0,058
	2,5	0,639	30,8	19,7	0,058
5	0,5	--	--	--	--
	1,0	0,774	23,5	13,7	0,050
	1,5	0,712	26,3	16,0	0,053
	2,0	0,659	29,4	18,6	0,057
	2,5	0,653	29,8	18,9	0,057
6	0,5	--	--	--	--
	1,0	0,793	22,8	13,1	0,049
	1,5	0,728	25,5	15,4	0,052
	2,0	0,672	28,6	17,9	0,056
	2,5	0,666	28,9	18,2	0,056

**Левашов Б.М.**, к.г.н., доцент – анализ характерных геокомплексов на территории Новосибирской области; петрографическое исследование образцов грунта.

БАЗАЛУК В.А., к.т.н., доцент – характеристика геоморфологических особенностей Новосибирской области; сбор и анализ решений по проектированию земляного полотна и дорожных одежд; полевые исследования дорожных конструкций; общая стратегия назначения прочностных и деформативных характеристик грунтов.

**Миронов А.А.**, к.т.н., доцент – сбор и анализ решений по проектированию земляного полотна и дорожных одежд автомобильных дорог Новосибирской области; анализ гидрологических условий, характерных для территории исследования, а также комплекса антропогенных геологических процессов на территории Новосибирской области.

исследований дорожных конструкций.

базуев В.П. инженер – полевые и лабораторные исследования дорожных конструкций, свойств грунтов рабочего слоя земляного полотна, анализ результатов.

**вычкова К.Л.** инженер – лабораторные исследования свойств грунтов рабочего слоя земляного полотна.

Таушканов В.А. инженер – обоснование методов и приборов для лабораторного исследования свойств грунтов рабочего слоя земляного полотна; полевые исследования дорожных конструкций; лабораторные исследования свойств грунтов.

Кираков Е.И., инженер – обоснование методов прогнозирования влажности грунтов рабочего слоя земляного полотна; разработка требований к участкам дорог, выбранным для полевых наблюдений; полевые исследования дорожных конструкций; обоснование расчётных значений характеристик грунтов для проектирования дорожных одежд по условию прочности.

Васильев А.В., инженер – обоснование методики и лабораторные исследования пучинистых свойств грунтов; назначение параметров грунтов земляного полотна для расчёта неёжких дорожных одежд на морозоустойчивость; обоснование методов прогнозирования влажности грунтов рабочего слоя земляного полотна; расчёт величины испарения с поверхности суши на территории Новосибирской области; полевые исследования дорожных конструкций.

Чарыков Ю.М., инженер – полевые исследования дорожных конструкций автомобильных дорог Новосибирской области; исследование неравномерности зимнего поднятия покрытий дорожных одежд в результате пучения грунтов земляного полотна; оформление картографических материалов.

Барышников М.С., студент – лабораторные исследования пучинистых свойств грунтов; набор текста промежуточных отчётов по теме.

Ефименко С.В., студент – обоснование принципов учёта региональных природных условий при комплексном проектировании земляного полотна и дорожных одежд; полевые исследования дорожных конструкций автомобильных дорог Новосибирской области; лабораторные исследования прочностных и деформативных свойств грунтов и анализ результатов.

Пушкарёва Г.В., к.ф.м.н., доцент – редактирование текста промежуточных отчётов по теме.

Слободской М.М., инженер – компьютерный набор текста Стандарта предприятия.